



# SJENE CRNIH RUPA

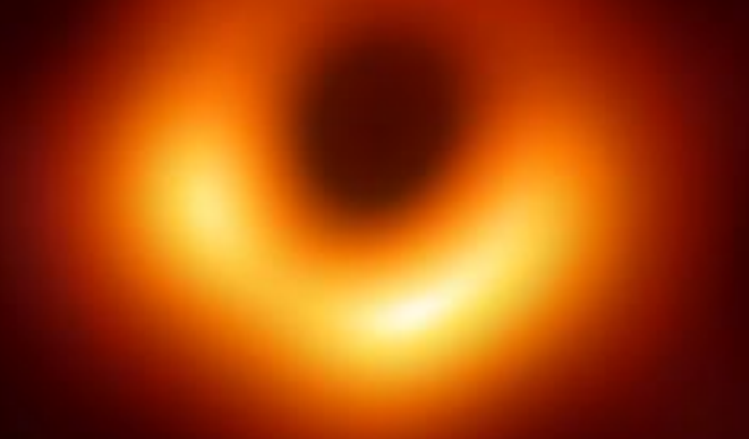
**Laura Busak**

Mentor: izv. prof. Ivica Smolić

Samostalni seminar iz  
istraživanja u fizici

1

Što je  
sjena crne  
rupe?



**Preuzeto:** Event Horizon Telescope kolaboracija (2019.)

# SCHWARZSCHILD

$$ds^2 = - \left( 1 - \frac{2M}{r} \right) dt^2 + \frac{1}{1 - \frac{2M}{r}} dr^2 + r^2 d\Omega^2$$

prirodne jedinice

$$c = G = 1$$

sferna simetrija

nema naboja, nema rotacije

statičko rješenje

"konstantna u vremenu"

vakuumsko rješenje

$$R_{\mu\nu} - \frac{1}{2} R g_{\mu\nu} = 0$$

crna rupa

kauzalno odvojeni dio prostorvremena

# SCHWARZSCHILD

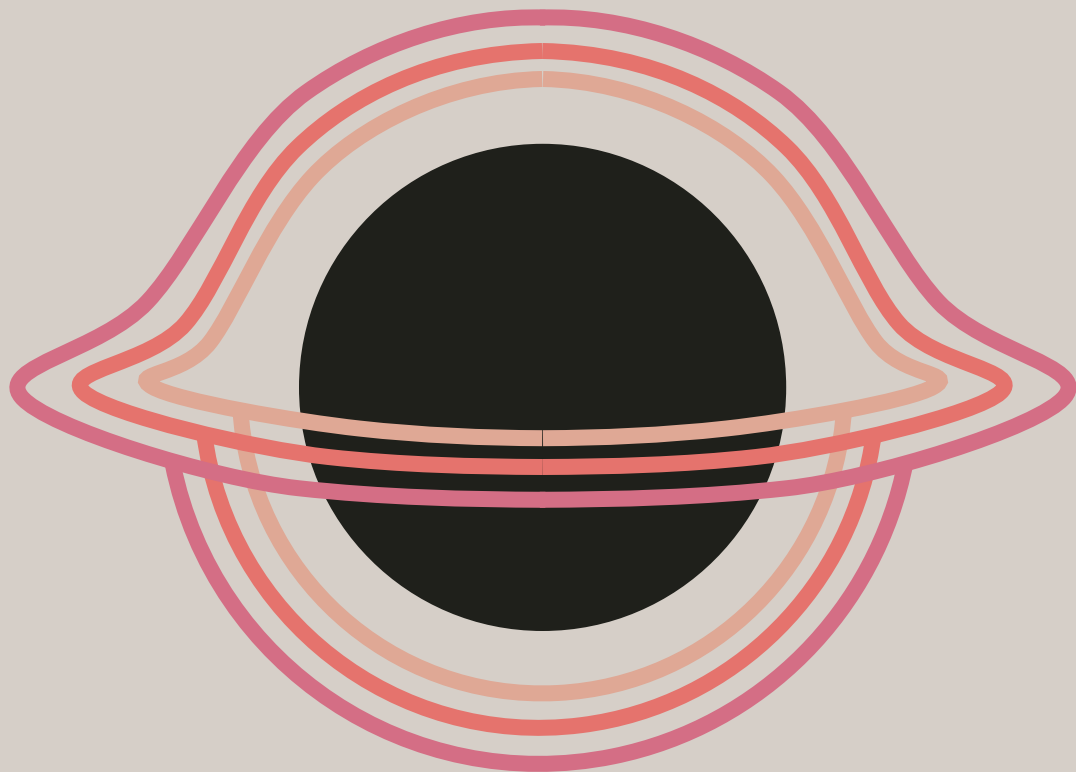
$$ds^2 = - \left( 1 - \frac{2M}{r} \right) dt^2 + \frac{1}{1 - \frac{2M}{r}} dr^2 + r^2 d\Omega^2$$

$r \rightarrow 0$

$r = 2M$

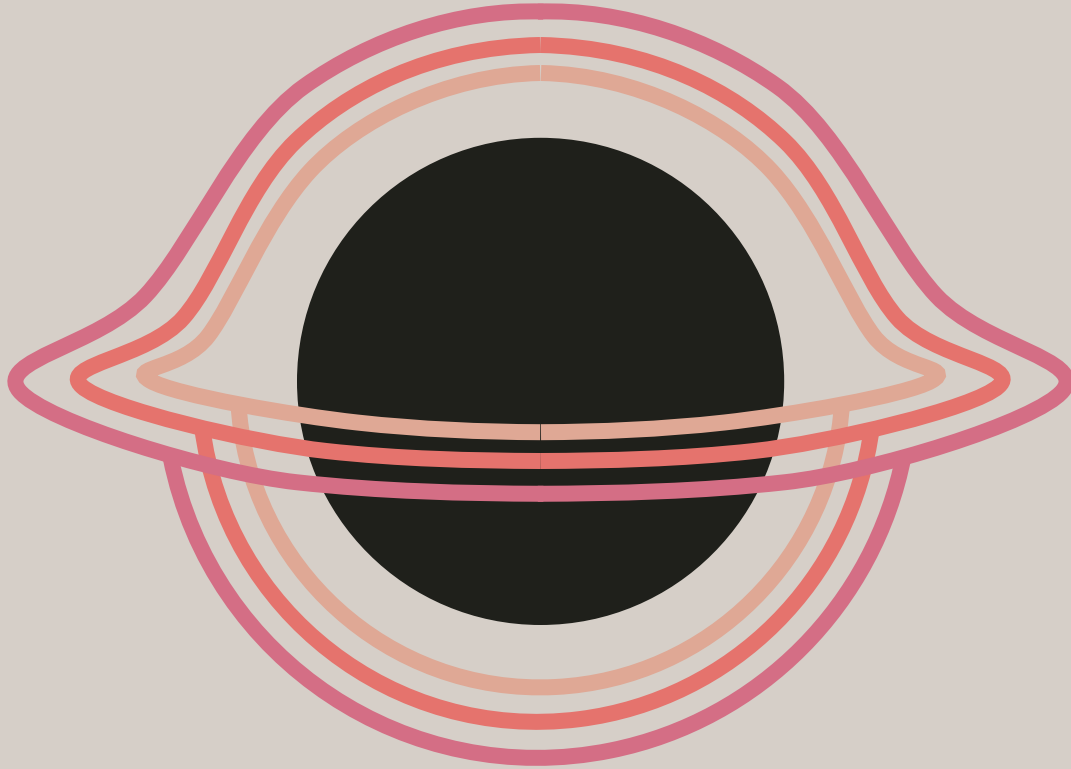
$r \rightarrow \infty$

# "VIDJETI" CRNU RUPU

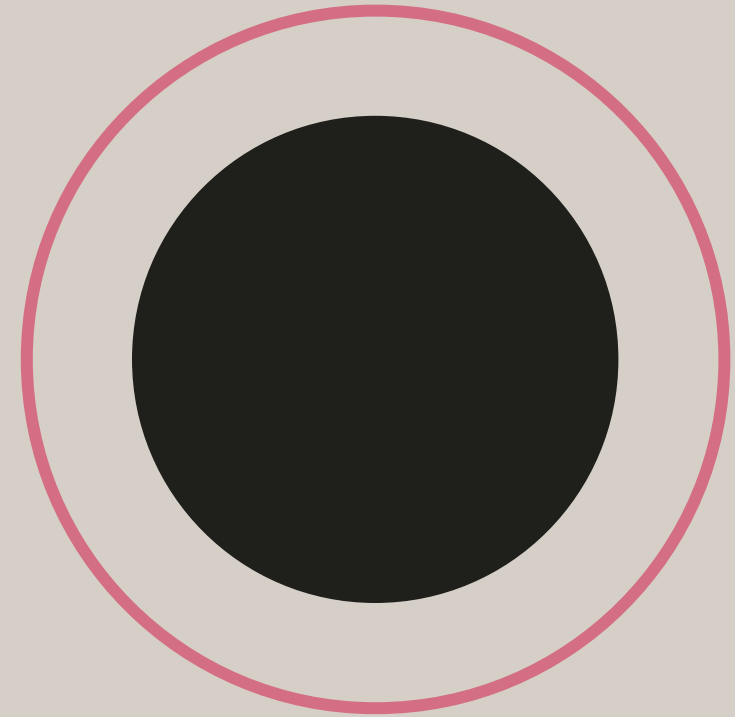


"REALNA" CRNA RUPA

# "VIDJETI" CRNU RUPU



"REALNA" CRNA RUPA

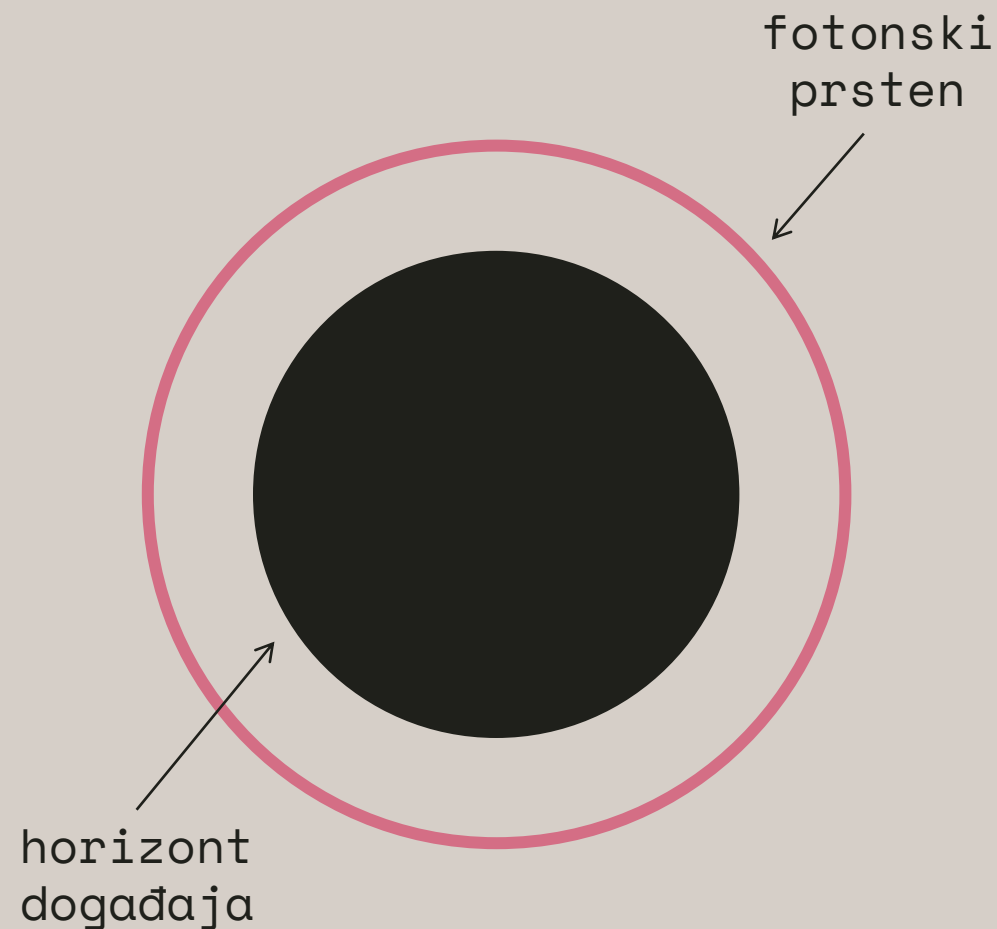


IDEALIZACIJA

# "VIDJETI" CRNU RUPU



"REALNA" CRNA RUPA



IDEALIZACIJA

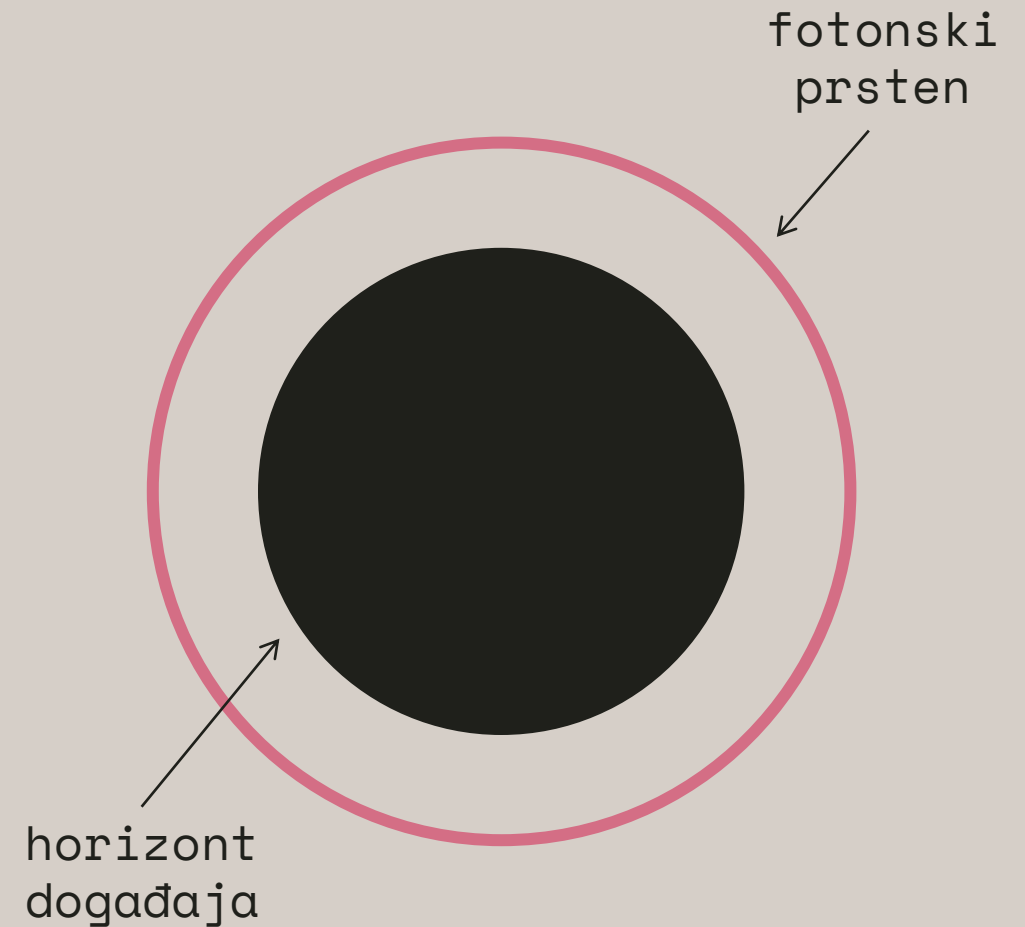
# "VIDJETI" CRNU RUPU

## PRETPOSTAVKE U DALJNJIJIM IZVODIMA:

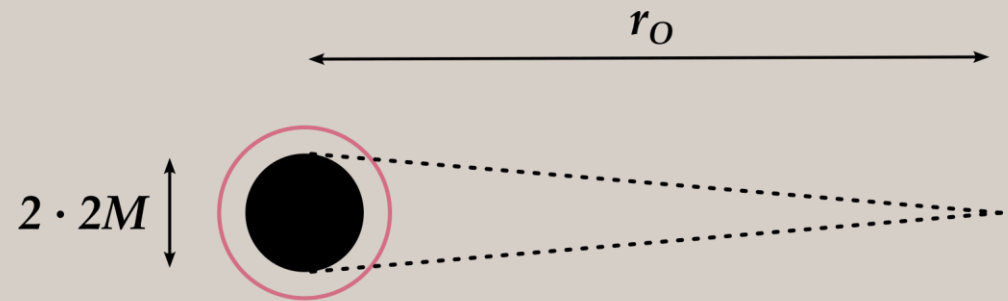
uniformna pozadina

statički opažač

nema izvora između  
opažača i crne rupe



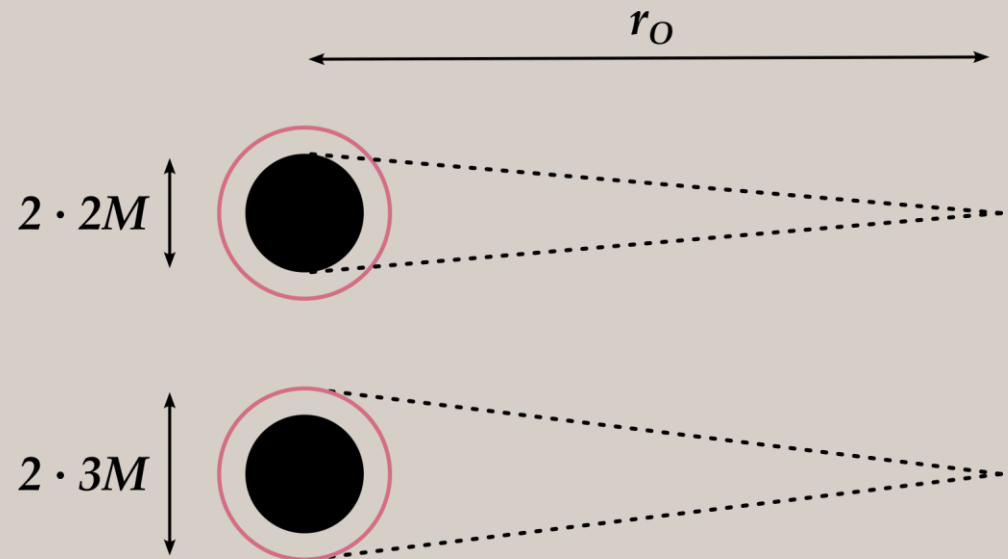
# "VIDJETI" CRNU RUPU



promjer horizonta događaja

Prilagođeno: Perlick, Tsupko (2022.)

# "VIDJETI" CRNU RUPU

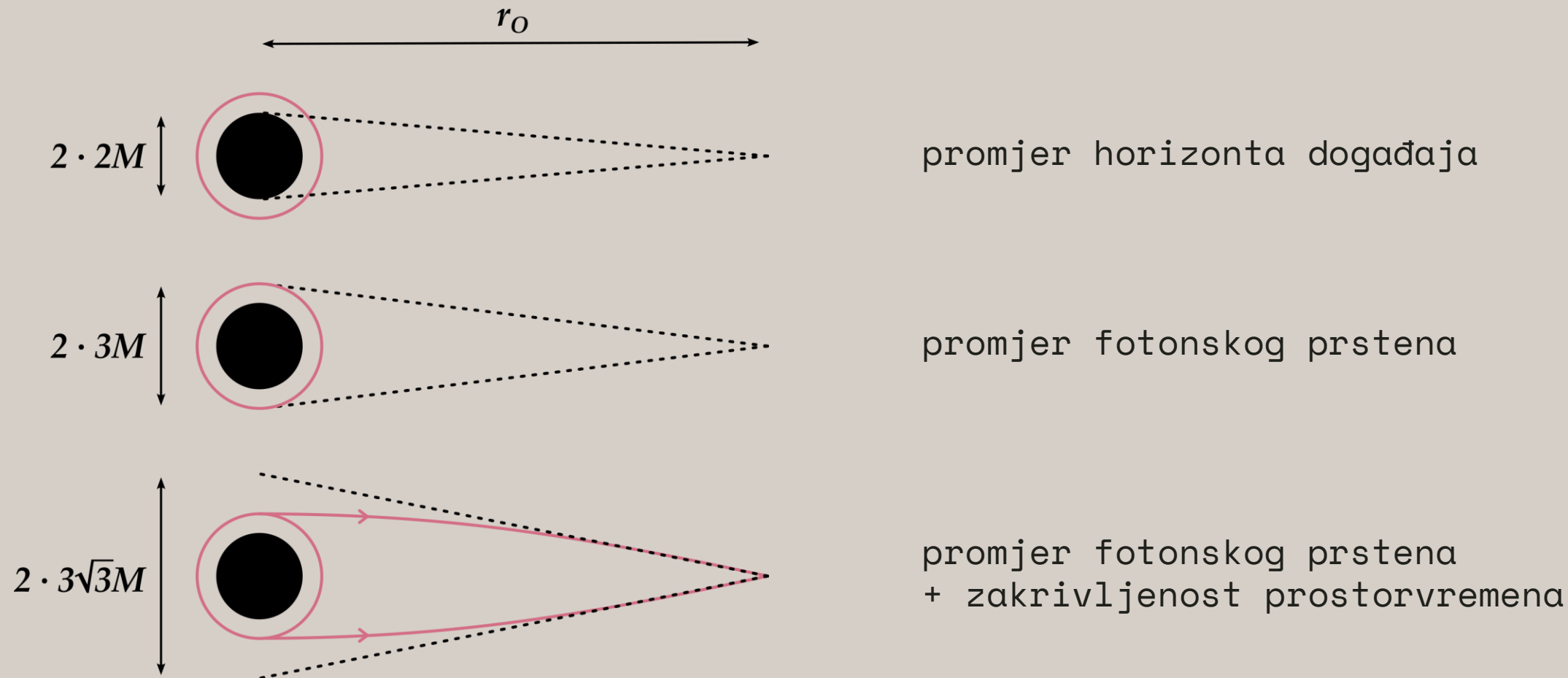


promjer horizonta događaja

promjer fotonskog prstena

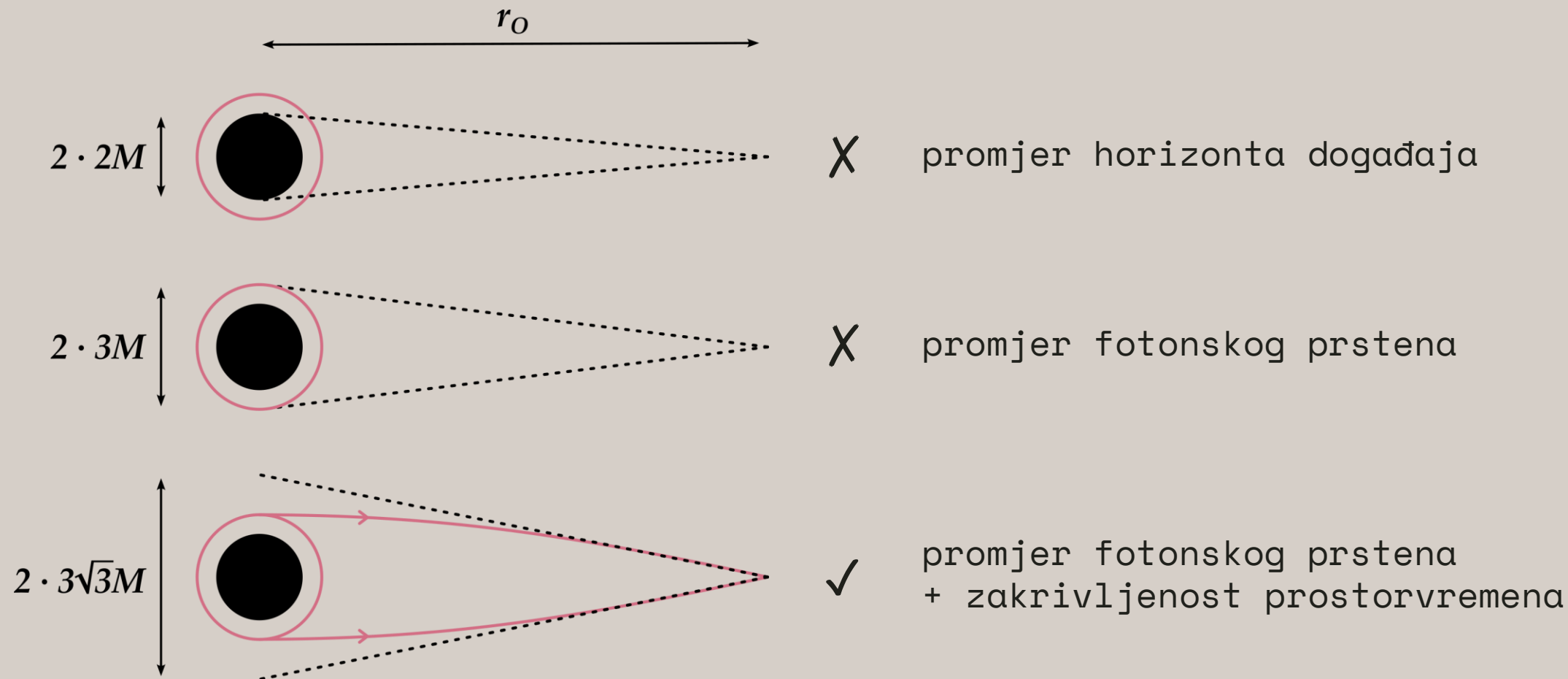
Prilagođeno: Perlick, Tsupko (2022.)

# "VIDJETI" CRNU RUPU



Prilagođeno: Perlick, Tsupko (2022.)

# "VIDJETI" CRNU RUPU



Prilagođeno: Perlick, Tsupko (2022.)

2

# Određivanje sjene

# SFERNA SIMetriJA

## OPĆENITI POSTUPAK:

1

Izvod izraza za trajektoriju općenite svjetlosne zrake (svjetlosnog geodezika) emitirane od opažača "u prošlost".

→ kut otklona

2

Izdvajanje onih zraka koje asimptotski ulaze u nestabilne kružne orbite.

# SFERNA SIMETRIJA

$$ds^2 = -A(r)dt^2 + B(r)dr^2 + D(r)(d\theta^2 + \sin^2 \theta d\phi^2)$$

$A(r), B(r), D(r)$  svugdje pozitivne

# SFERNA SIMETRIJA

$$ds^2 = -A(r)dt^2 + B(r)dr^2 + D(r)(d\theta^2 + \sin^2 \theta d\phi^2)$$

$$\mathcal{L}(x, \dot{x}) = \frac{1}{2} \left( -A(r)\dot{t}^2 + B(r)\dot{r}^2 + D(r)\dot{\phi}^2 \right)$$

E-L jednađbe

konstante gibanja

$$E \equiv A(r)\dot{t}$$

$$L \equiv D(r)\dot{\phi}.$$

# SFERNA SIMETRIJA

E-L jednađbe

konstante gibanja\*

$$E \equiv A(r)\dot{t}$$

$$L \equiv D(r)\dot{\phi}$$

\*po jedinici mase

# SFERNA SIMETRIJA

E-L jednađbe

konstante gibanja\*

$$E \equiv A(r)\dot{t}$$

$$L \equiv D(r)\dot{\phi}$$

\*po jedinici mase

udarni parametar

$$b \equiv \frac{L/\mu}{E/\mu} = \frac{L}{E}$$

# SFERNA SIMETRIJA

E-L jednađbe

konstante gibanja\*

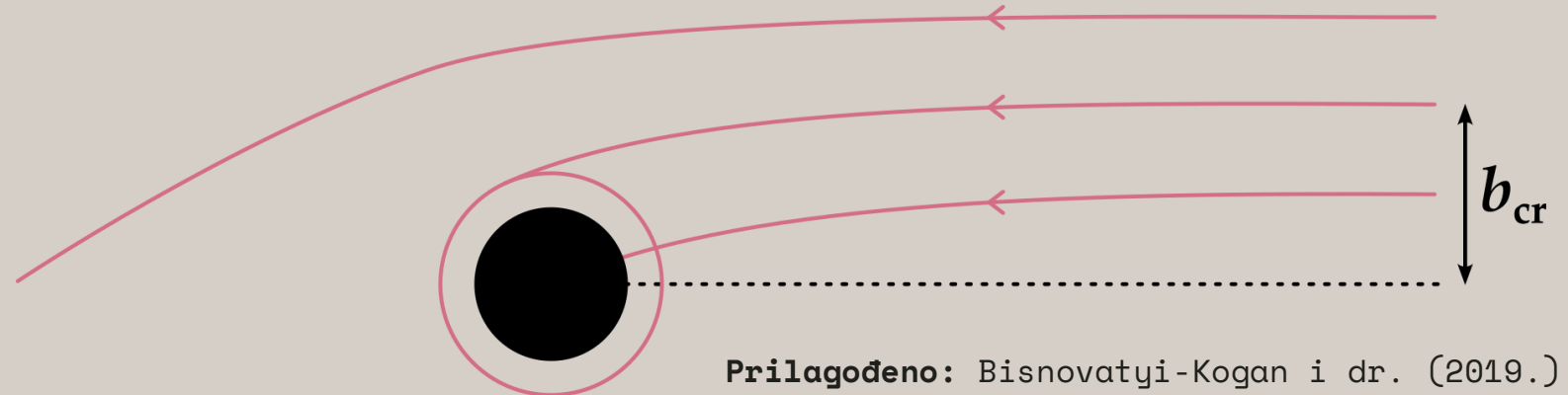
$$E \equiv A(r)\dot{t}$$

$$L \equiv D(r)\dot{\phi}$$

\*po jedinici mase

udarni parametar

$$b \equiv \frac{L/\mu}{E/\mu} = \frac{L}{E}$$



Prilagođeno: Bisnovatyi-Kogan i dr. (2019.)

# SFERNA SIMETRIJA

E-L jednađbe

konstante gibanja\*

$$E \equiv A(r)\dot{t}$$

$$L \equiv D(r)\dot{\phi}$$

\*po jedinici mase

udarni parametar

$$b \equiv \frac{L/\mu}{E/\mu} = \frac{L}{E}$$

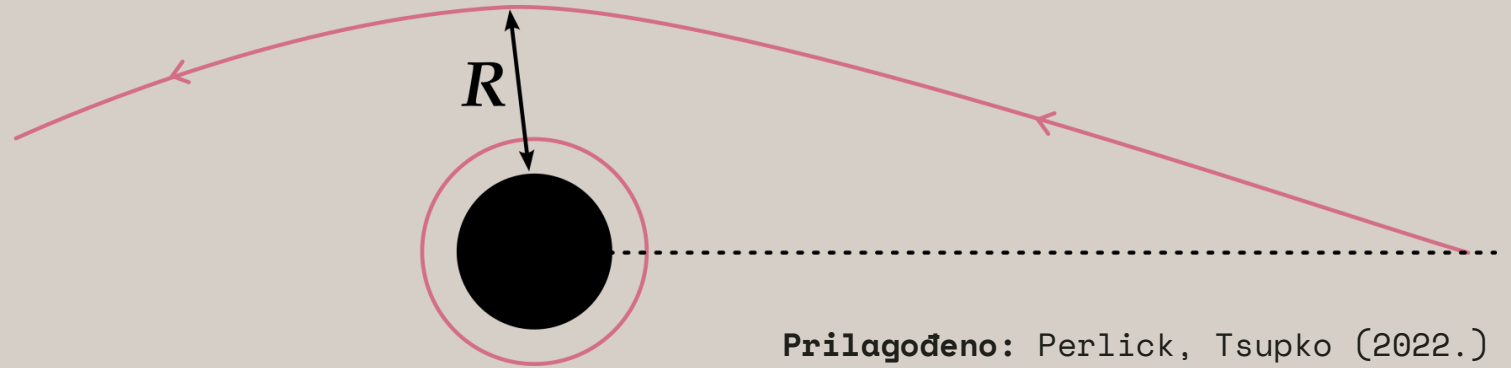
$$ds^2 = 0$$

svjetlosni geodezici

jednađba orbite/prolaska

# SFERNA SIMETRIJA

$$\frac{1}{b^2} = \frac{E^2}{L^2} = \frac{A(R)}{D(R)}$$



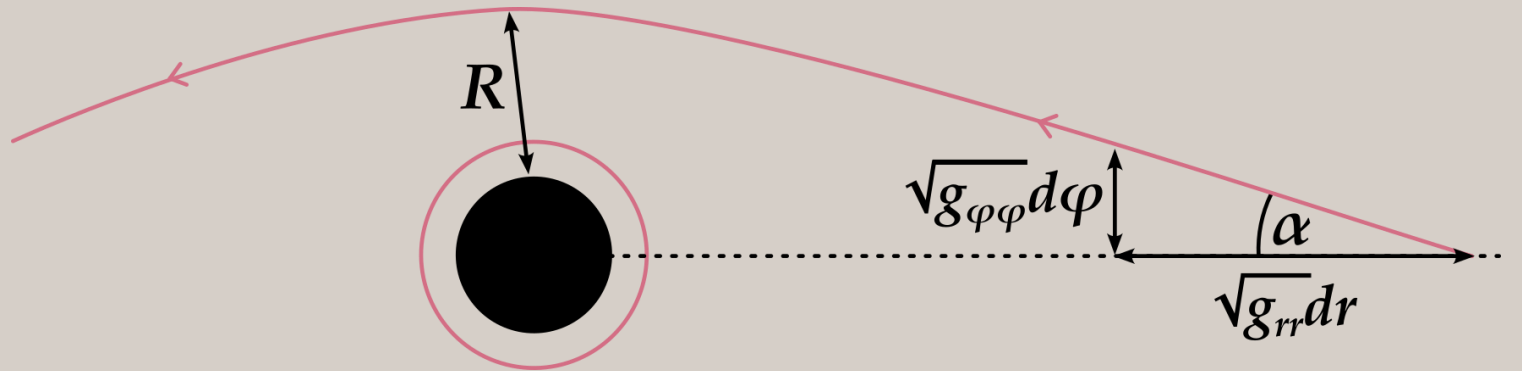
Prilagođeno: Perlick, Tsupko (2022.)

$$\left(\frac{dr}{d\phi}\right)^2 = \frac{D(r)}{B(r)} \left(\frac{h^{-2}(r)}{h^{-2}(R)} - 1\right), \quad h^{-2}(r) = \frac{D(r)}{A(r)}$$

orbita = ekstrem

# SFERNA SIMETRIJA

$$\sin^2 \alpha = \frac{h^{-2}(R)}{h^{-2}(r_O)}$$



Prilagođeno: Perlick, Tsupko (2022.)

asimptotski do orbite

kritični uvjet, tj. **rub sjene**

$$\sin^2 \alpha_{\text{sh}} = \frac{h^{-2}(r_{\text{ph}})}{h^{-2}(r_O)} = \frac{b_{\text{cr}}^2}{h^{-2}(r_O)}$$

# SFERNA SIMETRIJA

uvjet sjene

$$\sin^2 \alpha_{\text{sh}} = \frac{h^{-2}(r_{\text{ph}})}{h^{-2}(r_{\text{O}})} = \frac{b_{\text{cr}}^2}{h^{-2}(r_{\text{O}})}$$

npr. Schwarzschild

$$A(r) = \frac{1}{B(r)} = 1 - \frac{2M}{r}, \quad D(r) = r^2$$

$$h^{-2}(r) = \frac{r^2}{1 - 2M/r}$$

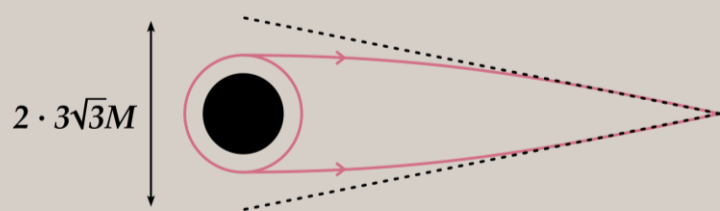
# SFERNA SIMETRIJA

uvjet sjene

$$\sin^2 \alpha_{\text{sh}} = \frac{h^{-2}(r_{\text{ph}})}{h^{-2}(r_O)} = \frac{b_{\text{cr}}^2}{h^{-2}(r_O)}$$

npr. Schwarzschild

$$A(r) = \frac{1}{B(r)} = 1 - \frac{2M}{r}, \quad D(r) = r^2$$



$$\sin^2 \alpha_{\text{sh}} = \frac{27M^2(1 - 2M/r_O)}{r_O^2}$$

# SJENA S VELIKE UDALJENOSTI

$$\sin^2 \alpha_{\text{sh}} = \frac{27M^2(1 - 2M/r_0)}{r_0^2} \longrightarrow \sin \alpha_{\text{sh}} \approx \alpha_{\text{sh}} \approx \frac{3\sqrt{3}M}{r_0}$$

# SJENA S VELIKE UDALJENOSTI

$$\sin^2 \alpha_{\text{sh}} = \frac{27M^2(1 - 2M/r_0)}{r_0^2} \longrightarrow \sin \alpha_{\text{sh}} \approx \alpha_{\text{sh}} \approx \frac{3\sqrt{3}M}{r_0}$$

asimptotska ravnost

$$\lim_{r \rightarrow \infty} A(r), B(r), D(r)/r^2 = 1$$

# SJENA S VELIKE UDALJENOSTI

$$\sin^2 \alpha_{\text{sh}} = \frac{27M^2(1 - 2M/r_0)}{r_0^2} \longrightarrow \sin \alpha_{\text{sh}} \approx \alpha_{\text{sh}} \approx \frac{3\sqrt{3}M}{r_0}$$

asimptotska ravnost

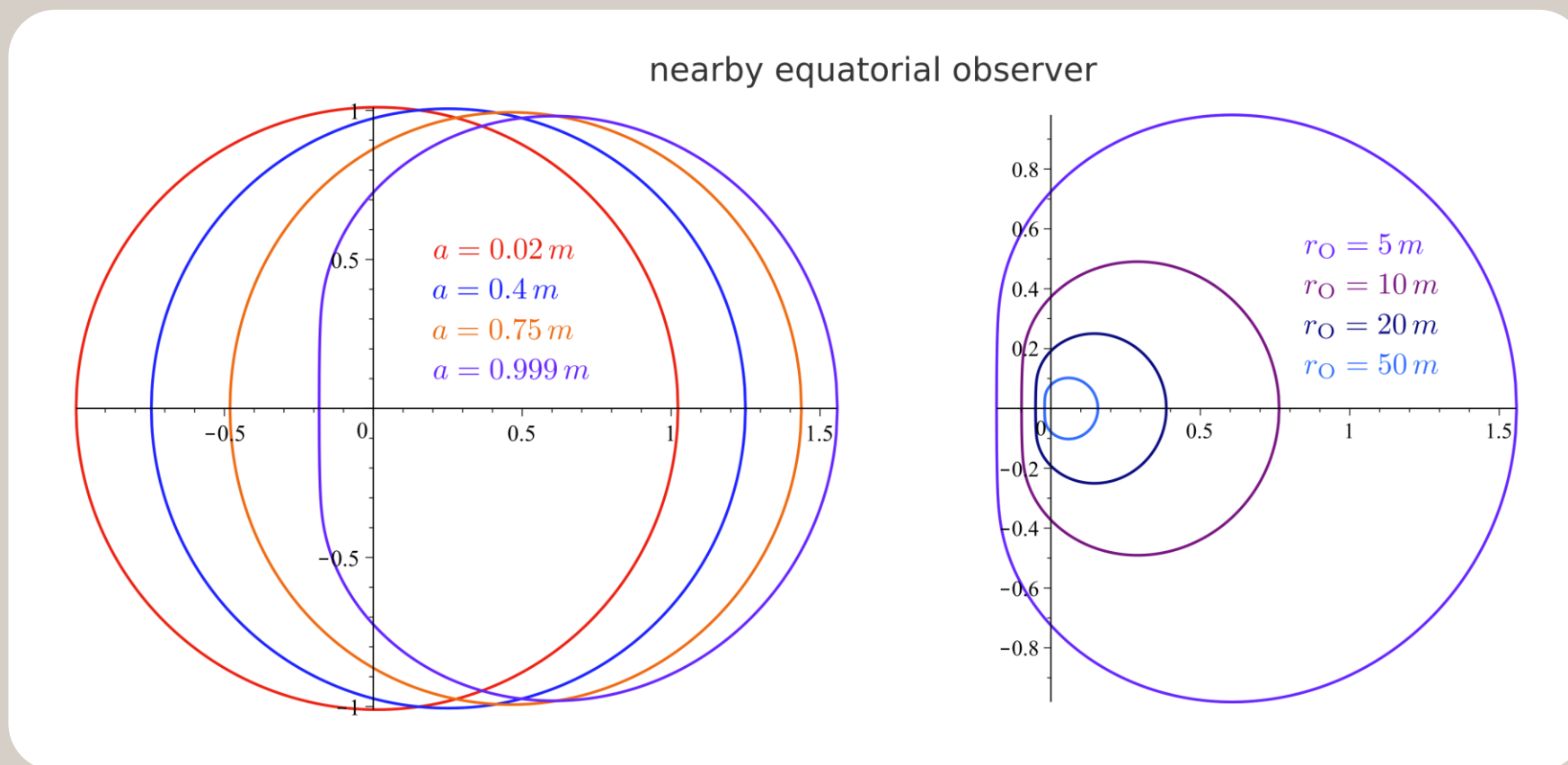
$$\sin \alpha_{\text{sh}} \approx \alpha_{\text{sh}}$$

$$\lim_{r \rightarrow \infty} A(r), B(r), D(r)/r^2 = 1$$

$$= \frac{b_{\text{cr}} \sqrt{A(r_0)}}{\sqrt{D(r_0)}} \rightarrow \frac{b_{\text{cr}}}{r_0}$$



# KERROVA CRNA RUPA



Preuzeto: Perlick, Tsupko (2022.)

3

# Jedinstvenost sjene

# DODATNE SPECIJALIZACIJE

1

Specijaliziramo izbor metričkih funkcija\*.

$$A(r) = V(r)\tilde{A}(r), \quad B(r) = \frac{1}{V(r)\tilde{B}(r)}, \quad V(r) = 1 - 2m/r$$

$$D(r) = r^2$$

$m$  nije nužno ADM masa, već fiksira položaj horizonta.

2

Pretpostavljamo asimptotsku ravnost.

3

Funkcije  $\tilde{A}(r)$  i  $\tilde{B}(r)$  svugdje su pozitivne izvan horizonta i barem su  $C^1$ .

# SFERNA SIMETRIJA

$$h(r) = \frac{\sqrt{\tilde{A}(r)V(r)}}{r}, \quad b_{\text{cr}} = \frac{r_{\text{ph}}}{\sqrt{\tilde{A}(r_{\text{ph}})V(r_{\text{ph}})}}$$

# SFERNA SIMETRIJA

$$h(r) = \frac{\sqrt{\tilde{A}(r)V(r)}}{r}, \quad b_{\text{cr}} = \frac{r_{\text{ph}}}{\sqrt{\tilde{A}(r_{\text{ph}})V(r_{\text{ph}})}}$$

uvjet degeneracije  $\sin \alpha_{\text{sh}} \stackrel{!}{=} \sin \alpha_{\text{sh}}^{(\text{Schw})}$

# SFERNA SIMETRIJA

$$h(r) = \frac{\sqrt{\tilde{A}(r)V(r)}}{r}, \quad b_{\text{cr}} = \frac{r_{\text{ph}}}{\sqrt{\tilde{A}(r_{\text{ph}})V(r_{\text{ph}})}}$$

uvjet degeneracije

$$\sin \alpha_{\text{sh}} \stackrel{!}{=} \sin \alpha_{\text{sh}}^{(\text{Schw})}$$

$$b_{\text{cr}} = \frac{3\sqrt{3}M}{\sqrt{\tilde{A}(r_0)}}$$

# SFERNA SIMETRIJA

$$h(r) = \frac{\sqrt{\tilde{A}(r)V(r)}}{r}, \quad b_{\text{cr}} = \frac{r_{\text{ph}}}{\sqrt{\tilde{A}(r_{\text{ph}})V(r_{\text{ph}})}}$$

uvjet degeneracije

$$\sin \alpha_{\text{sh}} \stackrel{!}{=} \sin \alpha_{\text{sh}}^{(\text{Schw})}$$

$$b_{\text{cr}} = \frac{3\sqrt{3}M}{\sqrt{\tilde{A}(r_0)}}$$

$$\left. \begin{array}{l} \sin \alpha_{\text{sh}} \stackrel{!}{=} \sin \alpha_{\text{sh}}^{(\text{Schw})} \\ b_{\text{cr}} = \frac{3\sqrt{3}M}{\sqrt{\tilde{A}(r_0)}} \end{array} \right\} \tilde{A}(r) = 1$$

# DEGENERACIJA KLASSE I

$$\tilde{A}(r) = 1$$

**I**

Vrijedi  $\tilde{A}(r) = 1$ . Izbor funkcije  $\tilde{B}(r)$  nije dodatno ograničen.

**Dovoljan uvjet.**

# DEGENERACIJA KLASSE I

$$\tilde{A}(r) = 1$$

I

Vrijedi  $\tilde{A}(r) = 1$ . Izbor funkcije  $\tilde{B}(r)$  nije dodatno ograničen.

npr. Simpson-Visser

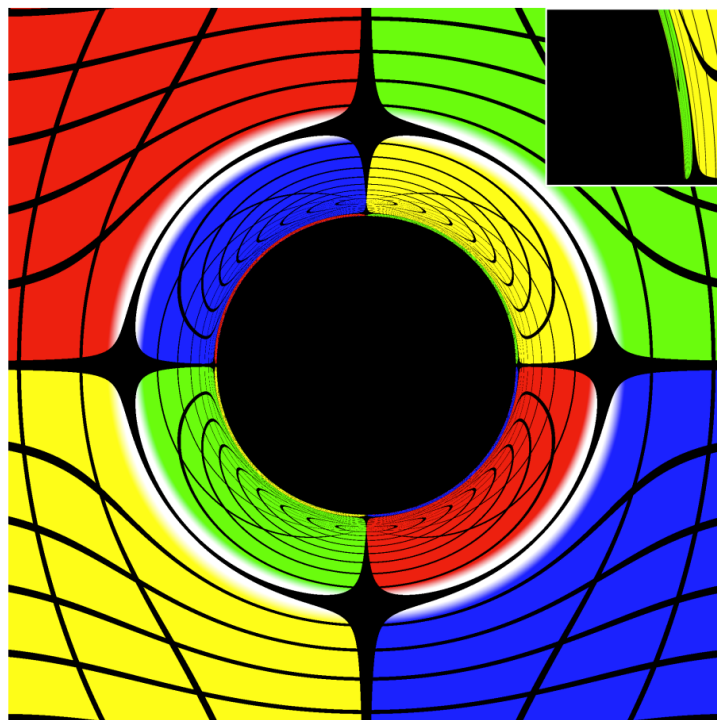
$$ds^2 = -V(r)dt^2 + \frac{1}{V(r)\tilde{B}_{SV}(r)} + r^2(d\theta^2 + \sin^2\theta d\phi^2)$$

$$\tilde{B}_{SV}(r) = 1 - \frac{b^2}{r^2}$$

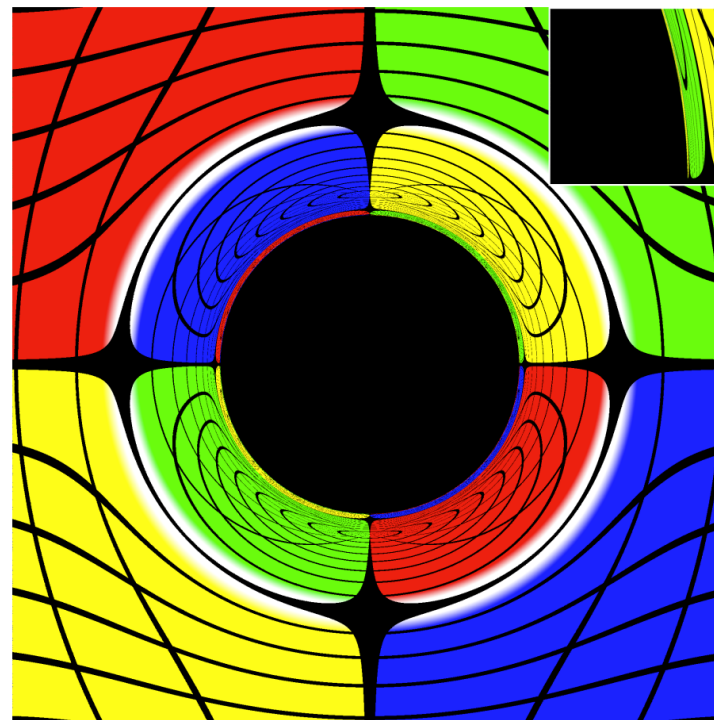
= regularna crna rupa ako  $0 < b < 2M$

# DEGENERACIJA KLASSE I

$$\tilde{A}(r) = 1$$



(a) Schwarzschild ( $b = 0$ )



(b) SV BH ( $b = 1.99M$ )

Preuzeto: Lima Junior i dr. (2021.)

# DEGENERACIJA KLASSE II

$$\tilde{A}(r) \neq 1$$

II

Općenito ne vrijedi  $\tilde{A}(r) = 1$ , ali zadovoljen je uvjet degeneracije za *jedan* od više postojećih fotonskih prstena, koji nazivamo dominantnim fotonskim prstenom.

Nužan i dovoljan uvjet.

# DEGENERACIJA KLASSE II

$$\tilde{A}(r) \neq 1$$

## ODREĐIVANJE DOMINANTNOG PRSTENA:

$1/b \geq h(r)$  mora vrijediti duž geodezika

na točki obrata vrijedi  $1/b = h(r)$

funkcija  $h(r)$  iščezava na horizontu  
+ nenegativna je svugdje izvan

$$h(r) = \frac{\sqrt{\tilde{A}(r)V(r)}}{r}$$

$$b_{\text{cr}} = \frac{3\sqrt{3}M}{\sqrt{\tilde{A}(r_0)}}$$

# DEGENERACIJA KLASSE II

$$\tilde{A}(r) \neq 1$$

## ODREĐIVANJE DOMINANTNOG PRSTENA:

$1/b \geq h(r)$  mora vrijediti duž geodezika

na točki obrata vrijedi  $1/b = h(r)$

funkcija  $h(r)$  iščezava na horizontu  
+ nenegativna je svugdje izvan

$$h(r) = \frac{\sqrt{\tilde{A}(r)V(r)}}{r}$$

$$b_{\text{cr}} = \frac{3\sqrt{3}M}{\sqrt{\tilde{A}(r_0)}}$$

nejednakost + izrazi za  $h(r)$ ,  $b(r)$

$$\tilde{A}(r) \leq \frac{r^3}{r - 2m} \left( \frac{\tilde{A}(r_0)}{27M^2} \right)$$

# DEGENERACIJA SJENE

≠ degeneracija leće

$$ds^2 = -A(r)dt^2 + B(r)dr^2 + D(r)(d\theta^2 + \sin^2\theta d\phi^2) \quad A(r) = V(r)\tilde{A}(r), \quad B(r) = \frac{1}{V(r)\tilde{B}(r)}, \quad V(r) = 1 - 2m/r$$
$$D(r) = r^2$$

**I**

Vrijedi  $\tilde{A}(r) = 1$ . Poseban slučaj klase II.

**II**

Općenito ne vrijedi  $\tilde{A}(r) = 1$ , ali zadovoljen je uvjet:

$$\tilde{A}(r) \leq \frac{r^3}{r - 2m} \left( \frac{\tilde{A}(r_0)}{27M^2} \right)$$

i jednakost mora vrijediti bar na jednom  $r_{\text{ph}}^{\text{dom}} < r_0$  izvan horizonta.

# DEGENERACIJA S KERROM?



*Isti postupak.*

## **DODATNE SPECIJALIZACIJE:**

- \* asimptotska ravnost
- \* Hamilton-Jacobi separabilnost

4

Zaključak

1

Odabiremo **položaj opažača**, izvan horizonta događaja i fotonskih orbita u relevantnim koordinatama.

2

Promatramo **geodezike svjetlosnog tipa**. Pritom zamišljamo zrake emitirane od opažača prema crnoj rupi, "u prošlost", i rješavamo jednadžbu geodezika očekujući njihovo skretanje pod utjecajem gravitacije crne rupe.

3

Namećemo **kritični uvjet**, odnosno da minimalni radijus prolaska odgovara (dominantnoj) fotonskoj orbiti. Odgovarajući kutovi zraka-doglednica (do središta crne rupe) opisuju rub sjene.



**HVALA NA  
POZORNOSTI**

1. V. Perlick i O. Y. Tsupko, *Physics Reports* 947, 1–39 (2022).
2. C.W. Misner, K. S. Thorne i J. A. Wheeler, *Gravitation* (Freeman, Sand Francisco, 1973).
3. Event Horizon Telescope Collaboration i dr. (2019), arXiv:1906.11238.
4. G. S. Bisnovatyi-Kogan, O. Y. Tsupko, and V. Perlick, "Shadow of black holes at local and cosmological distances," (2019), arXiv:1910.10514 [gr-qc].
5. H. C. D. Lima Junior, L. C. B. Crispino, P. V. P. Cunha i C. A. R. Herdeiro, *Physical Review D* 103 (2021), 10.1103/physrevd.103.084040.
6. J. L. Synge, *Monthly Notices of the Royal Astronomical Society* 131, 463 (1966).
7. J.-P. Luminet, *Astronomy and Astrophysics* 75 (1979).
8. A. Grenzebach, "Aberrational effects for shadows of black holes," in *Equations of Motion in Relativistic Gravity* (Springer International Publishing, 2015) p. 823–832.
9. A. Grenzebach, V. Perlick i C. L"ammerzahl, *Physical Review D* 89 (2014), 10.1103/physrevd.89.124004.
10. P. V. P. Cunha, E. Berti i C. A. R. Herdeiro, *Physical Review Letters* 119 (2017), 10.1103/physrevlett.119.251102.
11. A. Simpson and M. Visser, *Journal of Cosmology and Astroparticle Physics* 2019, 042–042 (2019).

# LITERATURA